

مقارنة كمية التربة المنجرفة بالتعريدة الريحية مع المتنبأ عنها بالمعادلة العامة لمفقودات التربة لمنطقة شرق بحيرة الرزازة

علي محمد رجاء**

علي حسين إبراهيم البياتي*

*كلية الزراعة-جامعة الانبار

**وزارة العلوم والتكنولوجيا

***مركز دراسات الصحراء-جامعة الانبار

EMAIL:

الكلمات المفتاحية: المعادلة العامة لمفقودات التربة: مواد التربة المنجرفة بالتعريدة الريحية: ترب شرق بحيرة الرزازة.

تاريخ القبول: / 2014

تاريخ الاستلام: / 2013

المستخلص

يهدف البحث إلى مقارنة كمية التربة المنجرفة فعلياً بالتعريدة الريحية مع المتنبأ عنها بالمعادلة العامة للتعريدة الريحية والمفترحة من قبل Woodruff and Siddoway (1965) في منطقة شرق الرزازة، تم اختيار قطاع بطول 30 كيلو متر وبعرض 3 كم حدد عليه ثلاثة مواقع للمنذجة على أبعاد 0 و 15 و 30 كم وهي موقع 1، موقع 2، موقع 3 على التوالي، تختلف في ارتفاعها عن مستوى سطح البحر. نصب مصائد الرمال بارتفاعات مختلفة وبثلاث مكررات عند كل موقع منذجة، قدر فيها كمية المواد المنجرفة من شهر أيار ولغاية كانون الأول وقورنت مع الكمية المتنبأ بها باستخدام معادلة WEQ.

أوضحت النتائج بأن قابلية ترب الموقع الثلاث للتعريدة قد تراوحت بين 185.0-157.5 ميكاغرام.هـ⁻¹، مع وجود اختلاف معنوي بين الموقع الثلاث في قيم هذا المؤشر، مع تفوق الموقع 3 في قابليتها للتعريدة، وحسب التصنيف المشار إليه من قبل Zachar (1982) فإن هذه المواقع تعتبر تربها شديدة التعريدة جداً مما يتطلب استخدام الأساليب الضرورية الممكن من خلالها تقليل كمية مفقودات الترب. لقد تفوق الموقع 1 بنسبة الدقائق المتحركة بطريقة الزحف، إذ بلغت 2.09% مقارنة بالموقع 3 الذي أظهر أدنى نسبة لها بلغت 1.49%. مع وجود تباين كبير بين القيم المقاسة والمتنبأ عنها وبانحراف معياري كبير بلغ 87.2 ميكاغرام.هـ⁻¹.سنة⁻¹.

COMPARISON WIND EROSION DRIFTING SOIL WITH PREDICTED AMOUNT BY WIND EROSION EQUATION EAST RAZAZA LAKE

Ali Hussein Al-Bayati* Hussein Zedian Ali** Ali Mohamed Raja***

*Al Anbar University- Collage of Agriculture

**Science and Technology Ministry

*** Al Anbar University- Desert Study Center

EMAIL:

Key words: Universal wind erosion equation; Wind erosion drifting soil; Soils at Eastern Razzazah lack.

Received: / 2013

Accepted: / 2014

Abstract

The aim of research was a comparison between actual amount of eroded soil by wind and predicated with WEQ equation which proposed by Woodruff and Siddoway amount (1965), at eastern Razzazah lack, for this reason we selected an transect 30 kilometers length, with 3 km width, three locations were selected for modeling at dimensions of 0, 15 and 30 km, namely, site1, site2 and site3 respectively. The sand traps were laid at different higher with three replicates at every sampling location, estimated amount of drift soil was comported with estimated amount by WEQ.

Results showed soil capability for erosion were ranged between 157.5-185.0 Meq kg.ha⁻¹, with a significant difference between studied sampling locations, site3 was exceed in erosion capability, but site 1 exceed in creep moved soil percent reached 2.09% comparison with site 3which showed lower amount reached 1.49%. According to Zachar classification (1982) these locations soils were considers very strident eroded, which needs to use essential practices to reduce eroded soil quantity. The presence of large discrepancy between the predicted

values compared actual through measured the large standard deviation between both values 87.2 Meq kg.ha^{-1.year⁻¹}.

لأن جزء كبير من التربة يمكن أن يتحرك بها مقارنة بالنوعين الآخرين. وأن الدقائق ذات الأحجام المتوسطة

هي الأكثر تأثيراً بهذه الطريقة والتي تكون قطرها المكافأة ما بين 0.05-0.5 ملم.

اما الزحف السطحي **Surface Creeping** فقد بين Hudson (1971) أن دقائق التربة التي تتراوح قطرها ما بين 0.5-2.0 ملم تنتقل بالزحف السطحي بسبب كبر حجمها بحيث لا تستطيع الرياح رفعها إلا أنها تبقى متدرج على السطح بفعل ضغط الرياح. وتشكل حركة النقل الكلي للتربة (Bagnold, 1941). لقد لاحظ Dikkeh (2005) أن 70-80% من حجم التربة المتحركة بالانجراف الريحي عند ارتفاع 10 سم فوق سطح التربة تكون بهذه الطريقة عند التحرك بطريقة الوثب فإن الحبيبات ترتفع بزاوية 75-90 درجة وتتابع سيرها أفقياً ثم تعود لتصطدم بسطح التربة مؤدية إلى تحطم التجمعات الترابية الكبيرة إلى أصغر بحيث تستطيع الرياح حملها ونقلها. وفي دراسة أجريت من قبل Ludger وأخرون (1996) لمعرفة تأثير التعريمة الريحية في منطقة Sahel في نيجيريا، بأن زيادة الارتفاع فوق سطح الأرض تغير بشكل معنوي من توزيع أحجام دقائق التربة فعند الارتفاع 10 سم شكلت الدقائق ذات الأحجام 75-2.0 ملم نسبة بلغت 46% مقارنة بالارتفاع 75-0.2 ملم التي بلغت نسبتها عند 23%. أما الدقائق التي إحجامها ما بين 0.2-0.02 ملم فقد بلغت نسبتها عند الارتفاعين 48% و 66% على التوالي، بينما الدقائق التي قطرها مكافأة أقل من 0.02 ملم ازدادت نسبتها بشكل تدريجي من 3.8% عند الارتفاع 10 سم إلى 8.2% عند الارتفاع 75 سم. وأوضح وصيف والعسكر (1996) بأن الدقائق التي قطرها المكافأة 0.1 ملم تمثل 58-72% من المواد المنجرفة في الأراضي الصحراوية، بينما الدقائق التي قطرها أقل من 0.063 ملم قد مثلت 28.5-34.6% مما يتوقع زيادة في فقد مفصول الطين وأشاراً بأن 24% من المواد المنجرفة هي حبيبات تحركت بطريقة الزحف السطحي، وأن الغلب للدقائق المتحركة بطريقة الفرز تكون قطرها أقل من (0.1-0.15 ملم). لقد أوضح عسكر (2002) بأن 51.6-63.3% من المواد المنجرفة في الأراضي الرملية للبادية السورية هي دقائق بأقطار 0.85-0.25 ملم في حين أنها تشكل 40-48% في الأرضيات مزيجية النسجة، ولاحظ بأن الحبيبات ذات الأقطار ما بين 0.1-0.25 ملم قد شكلت 50.6-57.2% في الارتفاع القريب من السطح (10-0 سم) وعند زيادة الارتفاع إلى 30 سم شكلت الدقائق ذات الأقطار الأقل من 0.1 ملم 63.6-66.7%. وقد بلغت الزيادة في فقد المادة العضوية والفسفور الجاهز 4 و 1 مره على التوالي مقارنة بالأراضي البكر غير الخاضعة لعملية الإثارة. يهدف

المقدمة

عرفت التعريمة الريحية بأنها عملية نقل فيزيائية لدقائق التربة من مكان إلى آخر بفعل الرياح، وتحدد بصورة طبيعية في المناطق الجافة وشبه الجافة إذا توافرت الظروف الملائمة لحدوثها كالترابة الهشة ذات النسجة الناعمة مع ندرة الغطاء النباتي على سطح الأرض وتتوفر مساحات واسعة معرضة للرياح السائدة في المنطقة، وانخفاض معدلات الأمطار وارتفاع درجات الحرارة وشدة الرياح (FAO, 1960). أشار Deangelis وأخرون (1987) بأن التعريمة الريحية تعد من المشاكل العالمية المؤثرة في النظم البيئية بشكل عام والزراعة بشكل خاص واحتداها في السنوات الأخيرة يعود إلى تطرف المناخ. بين Buringh (1960) إلى تعرض 2.4 مليون هكتار من أراضي العراق للتعريمة الريحية والتي تشكل 60% من المساحة الكلية للكطر. وان التعريمة الريحية تعد من العمليات الطبيعية الخطيرة والمعجلة بواسطة نشاطات الإنسان والمسبب المباشر لتدهور التربة. لقد أوضح عسرك (2002) في دراسته للتعريمة الريحية في البادية السورية بأن القياسات الحقلية باستخدام جهاز Bagnold وعلى جبهة عرضها 100 متر من الأرض قد أظهرت معدلات فقد للتربة بلغت من 1.47-2.64 ميكاغرام. ساعة⁻¹ عند هبوب رياح سرعتها 15 متر.ثا⁻¹ في حين بلغت 67.1 ميكاغرام. ساعة⁻¹ باستخدام جهاز BSNE . كما بين Smeonakis وأخرون (2007) إلى أن تغير نوع استعمال الأرض يؤدي إلى حصول تعريمة للتربة مما يؤدي إلى التصحر بشكل سريع. أن عملية انتقال دقائق التربة من مكان لأخر بفعل الرياح يمكن وصفها بمرحلتين : الأولى تبدأ بالفصل، إذ يحدث جريان بطيء وقوى رفع تنتج بسب جريان الرياح حول وفوق الدقائق أؤمن خلال قوى تصدام للطاقة الحركية لدقائق التربة المتحركة مع الريح عند عودتها ثانية إلى السطح. والثانية هي مرحلة نقل للدقائق المفصولة مع الريح إلى أن تترسب أخيراً، فالدقائق الكبيرة تميل إلى سرعة الترسيب والعودة إلى سطح التربة بعد الفصل، أما الدقائق الصغيرة فأنها تترسب في السرع البطيئة وتشكل مكوناً مهماً للاضطرابات الهوائية وتميل للانتقال بشكل معلم(Gregory, 1999) وأخرون.

هناك ثلاثة مسارات لحركة التربة بواسطة الرياح وهي: **المعلق Suspension** إذ تتحرك فيها دقائق التربة الأصغر من 0.05 ملم (Glen, 1989). وأوضح Chepil (1959) بأن تترك بصورة معلق اعتماداً على نسجة التربة المتأثرة بالريح. وعموماً فإن حركة الدقائق بالاتجاه العمودي تكون أقل من 10% مقارنة بحركتها بالاتجاه الأفقي (Gillette, 1987 Nickling and Gillies, 1993).

أما **القفز أو الوثوب Saltation** فتعد هذه الطريقة من أهم الطرائق لحركة دقائق التربة بواسطة الرياح، وذلك

ومن الشرق نهر الفرات ومن الجنوب قضاء المسيب، تبلغ المساحة الكلية للمنطقة 2550 كيلومتر مربع ويوافق

1.020.000 دونم وتقع ضمن المسار 169 والصف 37 حسب أطلس الصور الفضائية للعراق القمر الصناعي -7 Landsat. بعد دراسة خارطة التربة والخارطة الكنتورية للمنطقة وأجراء عدد من الجولات الاستطلاعية لمنطقة الدراسة، تم اختيار قطاع بطول 30 كم وبعرض 3 كم في اتجاه الرياح السائدة في المنطقة، وتحديد ثلات مواقع وعلى مسافة 0 و 15 و 30 كم على طول القطاع ويتقاطع مع الخطوط الكنتورية وذلك لمعرفة تأثير انحدار الأرض في التعريبة بيدولوجياً، بعدها حدبت إحداثيات المواقع الثلاثة المنتقاة للدراسة وكما مبين في الجدول (1)، والشكل(2) يوضح موقع النزدة الخاصة بالدراسة.

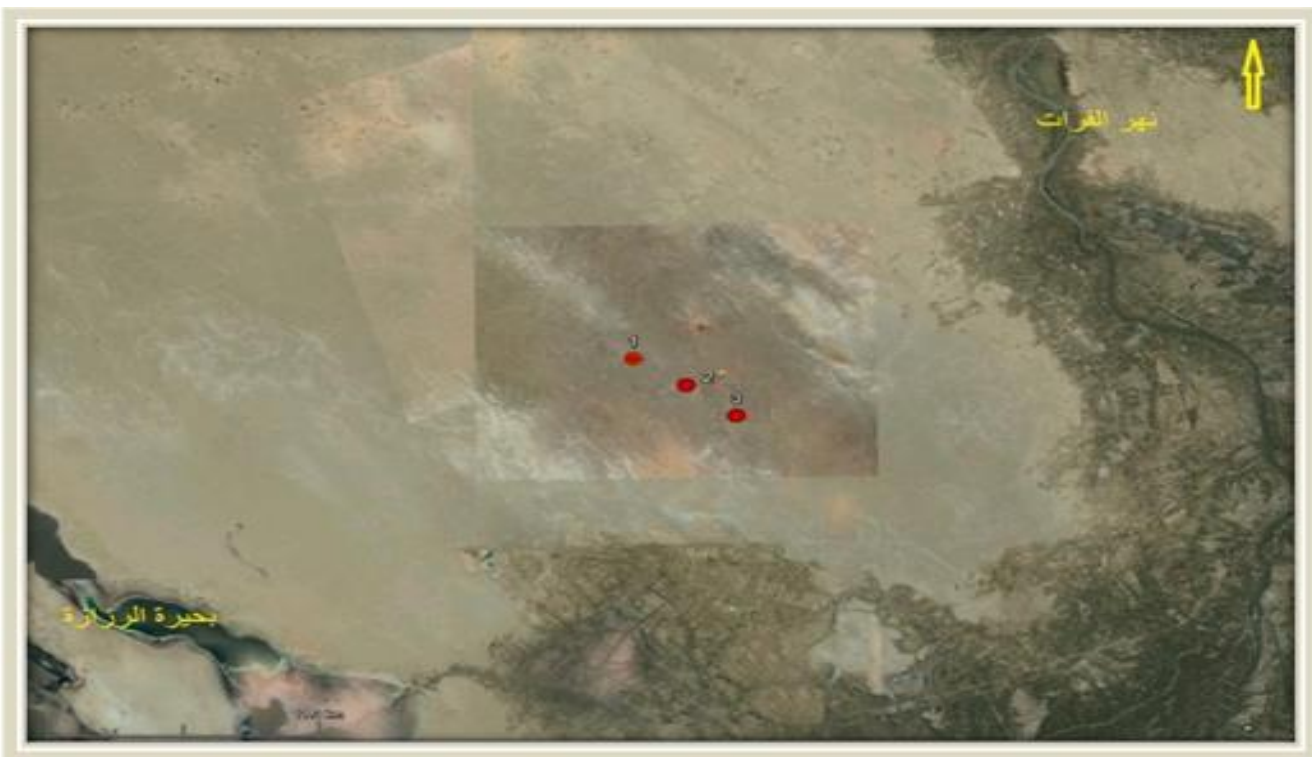
البحث لمقارنة تعريبة التربة المقاسة والمتبعة عنها بالمعادلة العامة لمفقودات التربة.

يهدف هذا البحث إلى مقارنة كمية مواد التربة المنجرفة بالتعريبة المقاسة مع المتبعة عنها بالمعادلة العامة لمفقودات التربة، لمنطقة شرق بحيرة الرزازة.

المواد وطرق العمل

1. اختيار منطقة الدراسة.

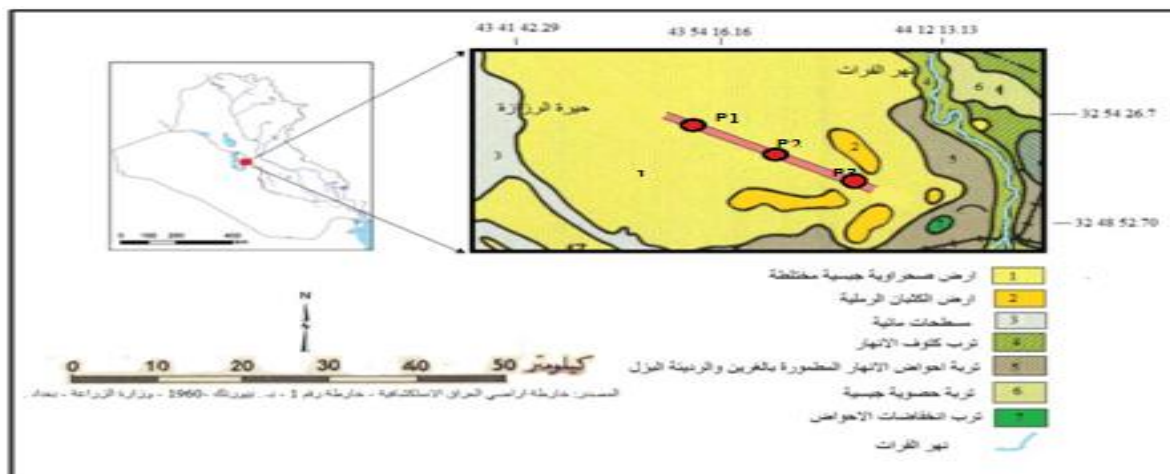
بناءً على المعلومات المتوفرة لدى مديرية بيئة محافظة الانبار حول تدهور الأراضي الواقعة ضمن الحدود الإدارية الفاصلة بين محافظتي الانبار وبابل، فقد تم تحديد منطقة الدراسة وكما مبين في الصورة الفضائية (الشكل 1)، إذ تقع بين خطى العرض 32° 33.00' و 33.00' شمالاً وخطى الطول 44° 15' و 43° 30' شرقاً. يحدها من الشمال ناحية العامرية ومن الغرب بحيرة الرزازة



الشكل - 1: صورة فضائية تبين حدود منطقة الدراسة.

الجدول - 1: إحداثيات المواقع الثلاثة المنتقاة للدراسة حقلياً

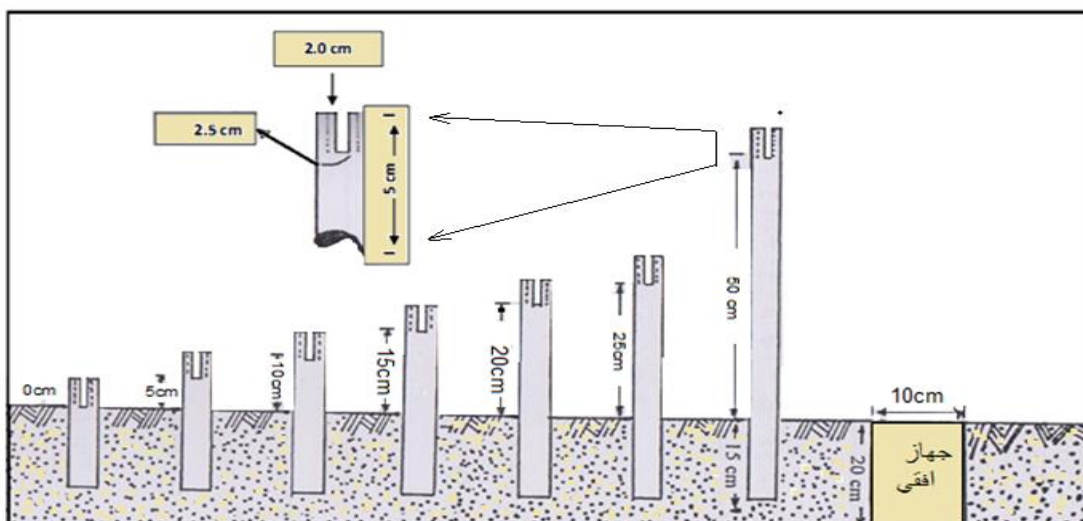
الارتفاع الطوبوغرافي	دائرة العرض	خط الطول	الموقع
70 m	52° 53,14' 57 N	43° 52,16' 50 E	1
65 m	32° 02,51' 52 N	43° 57',18' 07 E	2
41 m	32° 53,53' 47 N	44° 55,33' 57 E	3



مراقبة دخول الهواء المحمل بالماء المعرأة من الفتحة الأمامية بسهولة وخروجها من الفتحة الخلفية المشبكة المقابلة لها بعد تفريغ حمولتها من الرواسب بداخل الأنابيب. جمعت هذه المواد المترسبة في هذه المصائد كل أسبوع وابتدءاً من 2013/5/1 وحتى 2013/11/1 وتم تقدير الكمية الفعلية للماء المعرأة الزاحفة والفالفارة والعلاقة وكذلك الكمية الكلية للماء المعرأة ضمن الارتفاعات المقدرة. كذلك وضعت أجهزة أفقية لإبعادها عن المواقع الثلاث المختارة التي نصب فيها المصائد وبثلاثة مكررات لتقدير وزن المادة المعرأة عند كل فترة قياس (أسبوعياً) حدد فيها التوزيع الحجمي للحببات. < 1 ملم و 0.5-1 ملم و 0.25-0.5 ملم و 0.1-0.25 ملم و 0.063-0.1 ملم و > 0.063 ملم.

قدر التوزيع العمودي الحقيقي لمفقودات التربة عند موقع الدراسة الثلاثة من خلال نصب مصائد الرمال Sand traps باستخدام نماذج وحسب التصميم المقترن من قبل (دوغرمه جي, 1996)، وهي عبارة عن أنابيب بلاستيكية قطرها 4.0 سم، نهايتها العليا فيها فتحتين طويتين متقابلتين بطول 5 سم وعرض الفتحة الأمامية 2 سم والخلفية 2.5 سم مثبت عليها مشبك قطر فتحاته (15 مايكرومتر)، والنهاية السفلية لهذه الأنابيب مغلقة ويتم فيها نفاذ التربة ولعمق 15 سم (الشكل 3).

نصبت هذه المصائد مقابل اتجاه هبوب الرياح السائدة في موقع الدراسة المنقاة وعلى ارتفاعات مختلفة عن مستوى سطح الأرض وهي 0 و 5 و 10 و 15 و 20 و 25 و 50 سم، وبواقع ثلاثة مكررات لكل ارتفاع عند موقع من المواقع الثلاثة. وضعت هذه المصائد بشكل تمت فيه



الشكل- 3: مخطط يوضح مكرر واحد لمصائد المواد المنجرفة مقابل اتجاه الرياح السائدة في أحد مواقع الدراسة.

لدقائق التربة المنجرفة ويجب التمييز بين الخشونة العشوائية الطبيعية والخشونة المترسبة بالحراثة والتطبيقات الزراعية الأخرى.

C = عامل المناخ أو قدرة المناخ على التعرية وتأخذ بنظر الاعتبار عوامل سرعة الرياح والمحتوى الرطبوبي للتربة عند تقيير هذا العامل.

L = تمثل مسافة النقل غير المحمية عبر الحقل (متر) أو طول الحقل بالمتر.

V = عامل الغطاء النباتي ويرتبط بنوع وكمية واتجاه الغطاء النباتي ويمكن أن يعبر عنه (كغم. هكتار⁻¹). قدرت مؤشرات المعادلة كما يلي:

أ- عامل المناخ (C): تم حسابه باستخدام المعادلة المقترنة من قبل FAO (1979) وكما يأتي:

$$C = \frac{1}{100} \sum_{i=1}^{12} U^3 \left(\frac{Ei - Pi}{Ei} \right) d \dots \dots \dots \quad (2)$$

حيث إن:-

U = متوسط سرعة الريح الشهرية.

Ei = معدل التبخر من حوض التبخر (مم).

Pi = كمية التساقط الشهري (مم).

d = عدد الأيام بالشهر ذو العلاقة.

تم حساب قيمة عامل المناخ للمنطقة استناداً للمعادلة اعلاه، اذ بلغت 1.0.

ب- عامل خشونة سطح التربة (K): استتبط Williams وأخرون (1984) معدلات للتعبير عن عامل خشونة السطح وكما يلي:

إذا كانت $[HR^2 / IR]$ أقل من 0.57

$$K = 1.0 \dots \dots \dots \quad (3)$$

إذا كانت القيمة بين $0.57 < HR^2 / IR < 22.3$

$$K = 0.913 - 0.153 \ln (HR^2 / IR) \dots \dots \dots \quad (4)$$

إذا كانت القيمة $HR^2 / IR \geq 22.3$

$$K = 0.33 \exp (0.013 HR^2 / IR) \dots \dots \dots \quad (5)$$

2- تقدير قابلية التربة للتعرية الريحية (I)

أخذت عينات مواد تربة بوزن 1.0 كغم من عمق 0-2.5 سم باستخدام قالب معدني بإبعاد (15×15 سم) ذو حافة حادة من خمسة مواقع مختلفة على حدة ضمن كل موقع من الموقع الثلاثة ووضعت في أكياس بلاستيك ثم نقلت بعانيا إلى المختبر بعدها جفت ثم نخلت بمنخل قطرة 20 سم ذو فتحات قطرها 0.84 ملم (No.20) بزمن ثابت مقداره 10 دقائق ثم وزن المتبقي على المنخل لتحديد قابلية التربة للتعرية الريحية، باعتماد النسبة المئوية لدقائق التربة غير القابلة للتعرية (أكبر من 0.84 ملم قطرها) المتبقية على سطح المنخل وباستخدام الجدول الوارد في Skidmore (1983).

بعد تقدير قابلية التربة للتعرية قدرت الزيادة في مفقودات التربة (SI) معبرا عنها كنسبة مئوية من معرفة درجة انحدار الأرض باتجاه الريح باستخدام الشكل رقم (4).

3. القياسات الميدانية والمخبرية لعوامل المعادلة العامة للتعرية الريحية (WEQ)

أن الصيغة العامة للمعادلة هي:

$$E = f(I, K, C, L, V) \dots \dots \dots \quad (1)$$

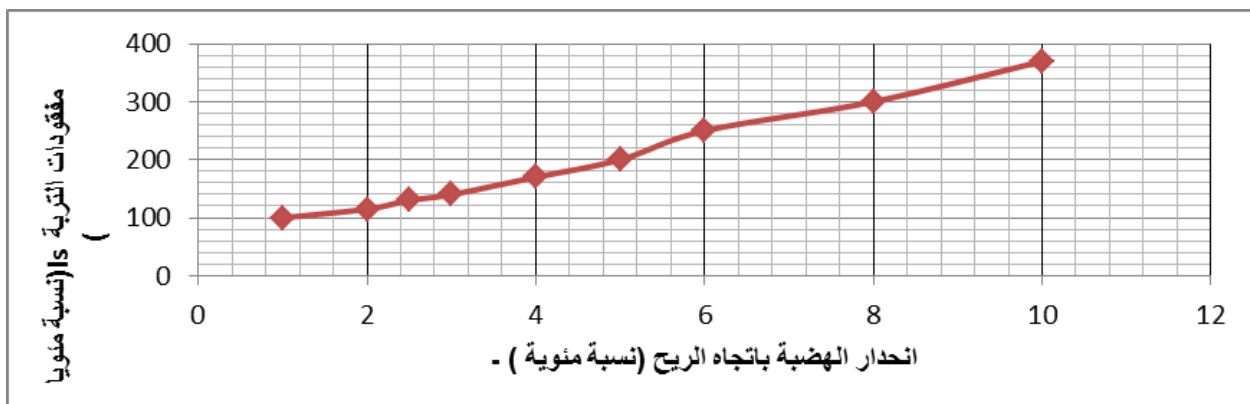
حيث أن :

E = فقد الكامن السنوي للتربة (ميغايرام. هكتار⁻¹. سنة⁻¹).

f = تشير إلى أن المعادلة تتضمن علاقات دالة غير خطية.

I = عامل قابلية التربة على التعرية ويمكن أن يعبر عنه بالفقد الكامن السنوي للتربة (ميغايرام. هكتار⁻¹. سنة⁻¹) ويتأثر بخصائص سطح الحقل المتrocكة (بور).

K = يعبر عن خشونة السطح من حيث المتون التي تكون بالحراثة أو بالزراعة ومالها من تأثير في امتصاص طاقة الريح وتكون أيضاً عبارة عن مصاند



الشكل-4: مفقودات التربة الكامنة من الهمبة معبرا عنها كنسبة مئوية لتلك من السطح .(Woodruff & Siddoway, 1965)

- الآتية :-

$$E_1 = I \times Is \dots \dots \dots \quad (8)$$

$$\mathbf{E}_2 = \mathbf{E}_1 \times \mathbf{K} \dots \dots \dots \quad (9)$$

$$\mathbf{E}_3 = \mathbf{E}_2 \times \mathbf{C} \dots \dots \dots (10)$$

وبعدها تم إيجاد E_4 التي تمثل فقد التربية بعد تضمين عامل طول الحقل (L) كما في المعادلة التالية :-

$$E_4 = (WF^{0.348} + E_3^{0.348} - E_2^{0.348})^{2.87} \dots \quad (11)$$

WF = عامل طول الحقل ويوضح تأثير طول الحقل في خفض القيمة التقديرية للتعرية ويساوي

$$WF = E_2 [1.0 - 0.122 (L/L_0)^{-0.387} \exp(-3.33L/L_0)], \quad (12)$$

حيث أن:

L = عامل طول الحقل.

L_0 = أقصى طول للحفل لتقليل التعرية الريحية ويتم تقديره بالمعادلة التالية:

$$L_0 = 1.56 \times 10^6 (E_2)^{-1.26} \exp(-0.00156 E_2) \dots \dots (13)$$

إذ بلغ قيم L_0 للموقع 1894.0، 3، 2، 1 : 1809.3، 1680.6 متر على التوالي، واستناداً لقيمها فإن قيم WF بلغت 93.7، 111.4، 116.4، 111.4، ولتضمين عامل الغطاء النباتي في المعادلة رقم (1) تم

$$\Psi = \exp(-0.759V - 4.74 \times 10^{-2}V^2 + 2.95 \times 10^{-4}V^3) \quad (14)$$

$$\Psi_2 = 1 + 8.93 \times 10^{-2} V + 8.51 \times 10^{-3} V^2 - 105 \times 10^{-5} V^3 \quad (15)$$

$$E_5 = \Psi_1 E_4 \Psi_2 \dots \quad (16)$$

حيث بلغت قيم Ψ_1 للموقع الثالث 0.002، و Ψ_2 على التوالي، 0.19، 0.82، و Ψ_4 على التوالي، 1.20، 1.60، حيث أن E_5 كمية مفقودات التربة بعد تتصчин عامل الغطاء النباتي.

حيث يشير كل من المؤشرين HR و IR إلى قياس ارتفاع المتنون (HR) والمسافة ما بين المتنون (IR) بالمليمتر لكل حقل في اتجاه الرياح السائدة.

تم قياس HR والمسافة ما بين المตอน IR بالمليمتر لكل موقع دراسي وطبقت المعادلات 3 و 4 و 5 للتعبير عن خشونة السطح حيث بلغ قيم العامل K 1 عند الموقعين 1 و 2، بينما كانت قيمته 0.933 عند الموقف 3.

جـ- عامل الغطاء النباتي(V): تم حساب عامل الغطاء النباتي باستخدام المعادلتين

$$SG = 8.9RW^{0.9}/1000 \quad \dots\dots\dots (6)$$

المقترحه من قبل (Larson *et al*, 1978)

$$V = 0.2533 (SG)^{1.363} \dots \dots \dots \quad (7)$$

المقترحة من قبل (Williams et al 1984) حيث إن:-

$RW =$ بقايا المحصول السابق (كم. هكتار⁻¹) لقد تم
أهمال دور الغطاء النباتي في تحديد وتقدير التعرية
الرياحية بالنسبة للموقع 1 لندره الغطاء النباتي فيه ولكونه
غير مستغل زراعيا. أما الموقعين 3,2 فقد تم تقديرهما
استناداً للمعادلتين 6,7.

د- عامل طول الحقن (L): حددت قيم هذا العامل بالاعتماد على قابلية التربة للتعرية وباستخدام الجدول (2) المقترن من قبل Chepil (1959). اذ بلغ قابلية التربة للتعرية في الموقع الثلاث 1 و 2 و 3: 157.5 ميكاغرام.⁻¹ و 167.5 ميكاغرام.⁻¹ و 185.0 ميكاغرام.⁻¹ وبعد إدخال عامل تصحيح الانحدار وحسب الشكل 4 أصبحت قيم عامل قابلية التربة (I3, I2, II) للموقع الثلاث 181.1 ميكاغرام.⁻¹ و 167.5 ميكاغرام.⁻¹ و 185.0 ميكاغرام.⁻¹ على التوالي.

لتطبيق معادلة Woodruff and Siddoway على الفي المترصنة لمنطقة الدراسة استخدمت المعادلات

الجدول - 2
للتعرية *

المسافة الحقيقة لجريان التربة للوصول الى الحد الأقصى (متر)	قابلية التربة للتعرية من نفق الريح (I) ميكاغرام.هـ ⁻¹
54.9	920.0 - 300.1
91.4	300.0 - 50.1
335.3	50.0 - 39.1
487.7	39.0 - 19.1
670.6	19.0 - 7.6
1187.7	7.5 - 6.2
1249.7	6.1 - 5.2
1584.9	5.1≥

(Chepil, 1959)*

النتائج والمناقشة

1- قابلية التربة للتعرية الريحية (I)

المنجرفة إلى طبيعة وصفات السطح المعرض للتعرية. إن قيم المواد المنجرفة والمتبأ عنها باستخدام المعادلة WEQ لعام(1965). قد بلغت 181.1 و 167.5 و 185.0 ميكاغرام.هـ¹ عند المواقع 1 و 2 و 3 على التوالي. وحسب التصنيف المشار إليه من قبل Zachar (1982) فإن هذه المواقع تعتبر تربها شديدة التعرية جداً مما يتطلب استخدام الأساليب الضرورية الممكن من خلالها تقليل كمية مفقودات التربة، واستناداً إلى مساحة المنطقة البالغة 255000 هكتار، وباعتبار أن معدل التعرية في منطقة الدراسة هي 177.9 ميكاغرام.هـ¹، لذا فإن كمية مفقودات التربة المنجرفة تصل 45364500 ميكاغرام، هذه الكمية تعد خطيرة وتتطلب استخدام الأساليب الإدارية الممكن من خلالها اختزال هذه القيمة ومنه تضمين عامل طول الحقل E4 وكما ورد في المعادلة 1.1. إذ يلاحظ من خلال نتائج الجدول (4) بأن تضمينه قد خفض من كمية التربة المنجرفة للمنطقة بنسبة 40.1% (27157500 ميكاغرام لمنطقة الدراسة، معدل كمية التربة المنجرفة 106.5 ميكاغرام.هـ¹) مما يشير إلى أهمية تقليل طول الحقل في خفض معدل حركة التربة مع المسافة باتجاه الريح على طول المنطقة المعرضة للتعرية.

أما تضمين عامل الغطاء النباتي فيلاحظ بأنه قد كان فعالاً في تقليل كمية مفقودات التربة E5 باستخدام المعادلة (16)، حيث لوحظ اختزال نسبته بمقدار 11.6%， مما يشير إلى دوره الإيجابي في تقليل كمية مفقودات التربة عن طريق التعرية الريحية، وهذا يتفق مع ما لاحظه الزيابي (2007) إذ لاحظ بأن تضمين عامل الغطاء النباتي قد حقق اختزالاً بنسبة 25.3% و 21.7% عند دراسته التعرية الريحية في واحتي حوران والكيلو 98 غرب العراق.

يوضح الجدول (3) قيم مؤشر قابلية التربة للتعرية (I) لموقع الدراسة. إذ يتضح بأن مجاميع التربة الجافة الأكبر من 0.84 ملم قد تراوحت بين 30.0-36.0%， وبمؤشر قابلية تربة للتعرية تراوحت بين 157.5-185.0 ميكاغرام.هـ¹، مع وجود اختلاف معنوي بين المواقع الثلاث. ويعزى ذلك لوجود اختلاف في محتوى التربة من مفصول الرمل. الملاحظ من النتائج الواردة في الجدول (3) بأن الموقع 1 قد زادت فيه نسبة المجاميع الأكبر من 0.84 ملم مقارنة بالمواقعين 2 و 3، والسبب في ذلك يعود إلى دور الرياح السائدة في المنطقة في إزالة المجاميع الأصغر من 0.84 ملم، أضافه إلى تأثير الانحدار عند الموقع 1، إذ إن التعرية الريحية تكون أكبر عند انحدار الأرض بسبب زيادة ضغط وسرعة الرياح فوق التربة Andreas Kill, 2005). وقد أشار الزيابي (2007) بأن للانحدار تأثير ايجابي في زيادة كمية المواد المترسبة من التربة.

2- التنبؤ بالتعرية الريحية حسب المعادلة العامة المقترحة من قبل Woodruff و Siddoway (1965).

نتائج الجدول (4) توضح قيم E1 و E2 و E3 و E4 لموقع الفحص الثلاث والتي تم التنبؤ بها. إذ بلغت قيمة التعرية الكامنة (E3) 181.1 و 167.5 و 172.6 ميكاغرام.هـ¹الموقع الفحص 1 و 2 و 3 على التوالي، مع تسجيل تفوق للموقع 1 بنسبة 8.1% و 4.9% على المواقعين 2 و 3. ويعزى سبب هذا التباين في كمية التربة

الجدول- 3: قيم مؤشر قابلية التربة للتعرية (I) لموقع الدراسة.

مؤشر قابلية التربة للتعرية(I) ميكاغرام.هـ ¹	النسبة المئوية لمجاميع التربة الجافة الأكبر من 0.84 ملم	الموقع
157.5	36.0	1
167.5	34.0	2
185.0	30.0	3
0.126	0.032	اقل فرق معنوي عند مستوى 0.05

الجدول- 4: تقدير التعرية الريحية الكامنة والكلية والمتبأ عنها باستخدام معادلة WEQ.

E5(i) ميكاغرام.هـ ¹	Ψ2(h)	Ψ1(g)	V(f)	SG(e)	E4(d)	E3(c) ميكاغرام.هـ ¹	E2(b)	E1(a)	الموقع
89.5	1.00	0.96	0.05	0.30	93.2	181.1	181.1	181.1	1
92.9	1.01	0.80	0.27	1.05	110.8	167.5	167.5	167.5	2
100.0	1.03	0.75	0.35	1.28	115.7	172.6	172.6	185.0	3

- (a) تم تقديره باستخدام المعادلة (8) (b) تم تقديره باستخدام المعادلة (9) (c) تم تقديره باستخدام المعادلة (10) (d) تم تقديره باستخدام المعادلة (11) (e) تم تقديره باستخدام المعادلة (6) علماً بأن بقايا المحاصيل كانت 50 و 100 و 200 كغم.هـ¹ (f) تم تقديره باستخدام المعادلة (7) (g) تم تقديره باستخدام المعادلة (14) (h) تم تقديره باستخدام المعادلة (15) (i) تم تقديره باستخدام المعادلة (16)

كمعدل لمنطقة الدراسة هي ما تشكله كمية مواد التربة المنجرفة بطريقة الزحف السطحي (أقطارها بين 0.5-2.0 ملم) وبنسبة 1.77% و 1.35% و 1.17% على التوالي. بينما شكلت الحبيبات المتحركة بطريقة الوثب (القرز) (0.05-0.50 ملم) 85.45% و 85.86% و 84.85% للموقع من 1 إلى 3 على التوالي، وبمعدل 85.39%. في حين شكلت الحبيبات المتحركة بشكل عالٍ كمعدل 12.84% و 12.00% و 13.67% للمواقع 1 و 2 و 3 على التوالي). يتضح من الجدول (5) بأن نسبة الدقائق المتحركة بطريقة الزحف قد كانت أكبر عند الموقع 1 بلغت 2.1% ثم قلت تدريجياً لتصل أدنى نسبة لها 1.49% عند الموقع 3.

3. تقدير كمية مواد التربة المنجرفة والتوزيع الحجمي لحبوبها المتجمعة في الأجهزة الأفقية.

يبين الجدول (5) كمية مواد التربة المنجرفة والتوزيع الحجمي لحبوبها في موقع الدراسة الثلاث في الأجهزة الأفقية (X70 X 10 X 20 سم) خلال مدة الدراسة من شهر مايس ولغاية شهر تشرين الثاني 2013. إذ بلغت 4158.0 و 4272.3 و 6041.7 غ.م.¹ عند المواقع الثلاث 1-3 على التوالي، والتي تعادل 6.04 و 4.27 و 4.16 ميكاغرام. هـ¹ سنة¹ (وذلك بتعويض 100 متر كعرض لمساحة الهاكتار من الأرض واعتباره جبهة تحرك المواد المنجرفة). يشير التوزيع الحجمي للحبيبات المتجمعة في المصادر الأفقية بأن 1.16%

الجدول- 5: كمية مادة التربة المنجرفة والتوزيع الحجمي للحبيبات المتجمعة في الأجهزة الأفقية لموقع الدراسة.

التوزيع الحجمي للحبيبات %							كمية مادة التربة المنجرفة(غ.م ¹)	الموقع	فترة القياس
0.05> mm	0.05 – 0.15 mm	0.15 – 0.25 mm	0.25 – 0.50 mm	0.50 – 1.00 mm	1.00 – 2.00 mm	> 2.00 mm			
18.26	29.80	26.50	23.50	1.60	0.18	0.16	292	1	07/05 إلى 29/05/2013
16.43	35.40	25.80	21.00	1.10	0.15	0.12	369	2	
17.14	33.60	26.00	22.00	1.00	0.15	0.11	573	3	
11.62	5.60	30.50	49.50	2.10	0.45	0.23	1755	1	30/05 إلى 27/06/2013
7.06	12.10	39.20	39.00	2.00	0.42	0.22	1804	2	
6.09	11.10	40.00	41.00	1.30	0.30	0.21	2487	3	
9.19	15.40	32.10	41.30	1.70	0.14	0.17	1053	1	28/06 إلى 31/07/2013
5.11	9.10	37.50	46.00	1.80	0.29	0.20	1071	2	
4.59	8.20	38.00	47.10	1.70	0.26	0.15	1479	3	
14.27	25.10	30.00	28.30	2.00	0.17	0.16	878	1	01/08 إلى 28/08/2013
12.96	29.00	27.50	29.00	1.20	0.20	0.14	846	2	
14.80	25.00	28.00	30.80	1.10	0.20	0.10	1197	3	
8.10	34.00	30.10	25.50	2.00	0.20	0.10	117	1	29/08 إلى 25/09/2013
16.60	33.10	26.10	23.00	1.00	0.10	0.10	112	2	
19.80	30.00	26.00	23.00	1.00	0.10	0.10	204	3	
10.60	35.00	28.00	25.00	1.20	0.10	0.10	126	1	26/09 إلى 01/11/2013
18.90	33.50	25.10	21.30	1.00	0.10	0.10	69	2	
19.60	32.80	25.00	21.50	0.90	0.10	0.10	102	3	
12.00	24.15	29.53	32.18	1.77	0.20	0.12	693.0	1	المعدل الشهري
12.84	25.37	30.20	29.88	1.35	0.21	0.15	712.1	2	
13.67	23.45	30.50	30.90	1.17	0.19	0.13	1006.9	3	

(2007)، إذ وجد الأخير انحرافاً معيارياً تراوح بين 88.7 و 117.7 ميكاغرام.هـ¹ سنة ٢٠١١ بالنسبة للمواقع غير المستغلة زراعياً وبين 0.42 و 0.94 ميكاغرام.هـ¹ سنة ٢٠١١ بالنسبة لمواقع المستغلة زراعياً غرب العراق. ويعزى ذلك إلى عدة أسباب منها اختلاف الظروف المناخية مثل سرعة الرياح وكمية الأمطار والرطوبة النسبية فضلاً على مؤشر قابلية التربة على التعرية (I) (مجاميع التربة الأكبر من 0.85 ملم) بدرجة كبيرة فضلاً عن كون العلاقة بين المتغيرات في المعادلة غير معروفة بصورة دقيقة لكل ظروف الحقل والمناخ للمنطقة المقاسة، إضافة إلى كون المعادلة قد اشترت من صيغ تجريبية لغرض حساب التعرية وتستخدم كأسلوب في كسب معرفة إضافية في التخطيط والتطبيق لأساليب السيطرة على التعرية (Hudson, 1971 والعاني، 1997).

4. مقارنة بين قيم التعرية الريحية المتنبأ بها باستخدام معادلة WEQ والمقدمة فعلياً.

يبين الجدول(6) نتائج قيم التعرية الريحية المتنبأ بها والمقدمة فعلياً في موقع الدراسة الثلاث، إذ أوضحت النتائج بأن قيمة التعرية المتنبأ بها باستخدام المعادلة WEQ قد بلغت 89.5 و 92.9 و 100.0 ميكاغرام.هـ¹ سنة ٢٠١١ عند المواقع ١ و ٢ و ٣ على التوالي. قابليها القيم 4.16 و 4.27 و 6.04 ميكاغرام.هـ¹ سنة ٢٠١١ والمقدمة فعلياً في الأجهزة الأفقية. مشيرة إلى وجود تباين كبير بين القيم المتنبأ بها باستخدام المعادلة WEQ مقارنة بالمقاسة فعلياً من خلال الانحراف المعياري الكبير بين كلا القيم المتنبأ بها والمقدمة والبالغ 87.2 ميكاغرام.هـ¹ سنة ٢٠١١، وهذا يتوافق مع ما لاحظه كل من عزيز (Tatarko و Skidmore 1990) وكذلك الديابي (1990).

الجدول - 6: قيم التعرية الريحية المتنبأ بها والمقدمة فعلياً في مناطق الدراسة.

القيمة المقاسة فعلياً	القيم المتنبأ بها باستخدام معادلة WEQ	الموقع
ميكاغرام.هـ ¹ سنة ٢٠١١		
4.16	89.5	1
4.27	92.9	2
6.04	100.0	3
4.82	94.1	المعدل لمنطقة الدراسة
	87.2	انحراف المعياري عن القيم المقاسة فعلياً

المصادر العربية

- صالح، عبد الأمير ثجيل وأياد محمد فضل القرشي، 1991. التصحر والثبات الرملية المنشآت المشكّلة والمكافحة . وزارة التعليم العالي والبحث العلمي. جامعة بغداد.
- عسکر، محمود خلف، 2002. دراسة فقد الكمي بالانحراف الريحي والخصائص النوعية للمادة التربوية المنجرفة في ظروف البادية السورية (جلد الثاني). مجلة الزراعة والمياه بالمناطق الجافة في الوطن العربي (أكساد). العدد 22. ص 18-5.
- وصيف ، محمد عبد والعمر، 1996. دراسة أولية على مستويات فقد الكمي والنوعي للتربة بالانحراف الريحي على الأراضي الصحراوية المصرية. المركز العربي لدراسات المناطق الجافة في الوطن العربي. العدد 15 . ص 11-18.

الديابي، فرحان محمد جاسم، 2007. تقدير فقد الكمي والنوعي للتربة بالتعريبة الريحية وعلاقته بالتكوين المعدني لمنطقتي غربي العراق . أطروحة دكتوراه - كلية الزراعة- جامعة الأنبار.

العاني، ماجد خضر عباس قاسم، 1997. نمذجة التعريبة الريحية لبعض المناطق في العراق. أطروحة دكتوراه - كلية الزراعة - جامعة بغداد.

دوغرمه جي، جمال شريف، 1996. دراسة الخواص الفيزيائية والمعدنية لبعض الترب والثبات الرملية في العراق. وقام____ مع الندوة العربية الأولى في تثبيت الكثبان الرملية ومكافحة التصحر المركز العربي لدراسة المناطق الجافة والأراضي القاحلة، أكساد /رض/ن 42 .

REFERENCES

- Andreas Kill, 2005.** Wind erosion assessment in Austria using wind erosion equation and GIS. BOKU-University of Natural Resources and Applied Life sciences Vienna. Muthgasse 18.A- 1190 Vienna.
- Bagnold, R. A., 1941.** The Physics of blown sand and desert dunes .Methuen ,London , PP.265.
- Buringh, P., 1960.** Soil and Soil conditions of Iraq. Ministry of Agriculture, Republic of Iraq.
- Chepil, W. S., 1959.** Wind erodibility of farm field. Journal of Soil and Water Conservation. 14:214-219.
- De Angelis,M., N.I. Barkov and V. N. Petrov, 1987.** Aerosol concentration over the last climatic cycle (160 kyr) from an Antarctic ice core. Nature 325, 318-321.
- Dikken M., 2005.** Comparing wind Erosion (Field Measurement) With simulated byWEPS. Department of Soil, Faculty Of Agriculture, Aleppo University, Syria.Tel: 006963(41).4.18-392, Fax:00963(41)210-170. E-mail:m-dikkeh @ scs-net. org.
- Food and Agriculture Organization, United Nations. 1960.** Soil erosion by wind and measures for its control on Agriculture lands Development paper Rome, Italy.
- Food and Agriculture Organization, United Nations. 1979.** provisional methodology for soil degradation assessment. Rome, Italy.
- Gillette. D.A., 1987.** A wind tunnel simulation of the erosion of soil: Effect of soil texture, sandblasting ,wind speed, and soil consolidation on dust production. Atmos. Environ. 12 , 1735-1743.
- Glen Clark, 1989.** Soil a threat ended resource. Soil erosion and its Control extends extension Service. North Dakota State University, Farog, ND 58105.
- Gregory, J. M., G. R. Wilson and Udai B. Singh, 1999.** The physics of wind erosion and dust generation. In: Desert evelopment: The Endless Frontier. Proceeding of the fifth International Conference of Desert Development. 1: 661-682. International Center for Arid and Semiarid Land studies, Office of International Affairs, Texas Tech.
- Hudson, N.W., 1971.** Soil Conservation 2nd.ed . Bats Ford. London.
- Larson, W. E., R. F. Holt and C. W. Carison, 1978.** Residue for soil concervation. P.1-15. In W. R. Oschwald (ed). Crop residue management systems.Spec. Pub.31. American Society of Agronomy, Madison.WI.
- Ludger E1., B.E. Allison and K. Michels, 1996.** Wind Erosion in Niger ,67-83.1996 Kluwer Academic Publisher, Printed in the Netherlands.
- Nickling, W .G., J. A .Gillies, 1993.** Emission of fine – grained particulates from desert soils .in:Leinen, M Sarnthein,M.(Eds) ,Paleoclimatology and palemterology : Modern and past Pattern of Global At mospheric transpor Kluwer Academic Publishing Dordrecht , PP: 133-165.
- Skidmor, E.L., 1983.** Wind erosion collocutor: Revision of residue table J. of Soil and Water Conservation 38:110-112.
- Skidmore, E.L., and J. Tatrko, 1990.** Stochastic wind simulation for erosion modeling. Tran. ASAE 33:1893 -1899.
- Symeonakis, Elias, Adolfo Calvo-Cases Eva Arnau-Rosalen, 2007.** Land use change and land degradation in south eastern Mediterranean Spain. Environ. Manage. 40:80-94.
- Williams, J. R., C. A. Jones and P. T. Dyke, 1984.** A modeling approach to determining the relationship between erosion and soil productivity. Transactions, American Society of Agricultural Engineers. 27:129-144.
- Woodruff, N. P., and F.H. Siddoway, 1965.** A wind erosion Equation Soil Soc. Amer. Proc. 29 :602-608.
- Zachar, D., 1982.** Soil erosion development in soil science 10. Forest research institute Zvolen, zechoslovakia.